

# تأثیر ناهمسانی در خصوصیات دینامیکی ماسه‌ی شل بابلسر با استفاده از دستگاه استوانه‌ی توالی تناوبی

فریدن جعفرزاده (دانشیار)

دانشکده‌ی هندسی عمران، دانشگاه صنعتی شریف

مصطفی زمانیان<sup>\*</sup> (استادیار)

دانشکده‌ی هندسی عمران، آب و محیط زیست، دانشگاه شهید بهشتی

مهمشنسی عمران شریف، (ایران) ۱۳۹۷/۰۳/۱۱-۰۴/۰۲، شماره ۲/۱، ص. ۳۰-۳۴، دوری ۲

تعییر در جهت محور تنش اصلی بیشینه ( $\alpha$ ) و پارامتر تنش میانی ( $\sigma_1 - \sigma_3$ ) / ( $\sigma_1 - \sigma_2$ ) به عنوان پدیده‌های رایج در بیشتر سازه‌های ژوتکنیکی به شمار می‌روند. در نوشتار حاضر، تأثیر دو پدیده‌ی ذکر شده در مدول برشی دینامیکی و نسبت میرایی مصالح که دو پارامتر مهم در مسائل مهندسی ژوتکنیک به شمار می‌روند، بررسی شده است. به همین منظور با استفاده از دستگاه استوانه‌ی توالی تناوبی یک سری آزمایش تناوبی زهکشی نشده در شرایط مشخصی از نظر  $\alpha$  و  $b$ ، بر روی نمونه‌های شل ماسه‌ی بابلسر انجام شد و نتایج نشان داد که با نزدیک شدن  $\alpha$  به ۴۵ درجه، مدول برشی و نسبت میرایی نمونه‌های ماسه‌یی کاوش می‌یابد. در عین حال پارامتر  $b$  به جز در شرایط  $\alpha = 45^\circ$ ، تأثیر چندانی در مدول برشی و یا نسبت میرایی نمونه‌ها نداشت. همچنین نسبت میرایی  $a$  و  $b$  در مدول برشی و نسبت میرایی، با افزایش فشار همه‌جانبه‌ی مؤثر افزایش یافت.

**واژگان کلیدی:** مدول برشی، نسبت میرایی، ماسه، جهت محور تنش اصلی بیشینه، پارامتر تنش میانی.

## ۱. مقدمه

طی آن‌ها شکل می‌گیرد)، شکل و ابعاد دانه‌های است که به ناهمسانی ذاتی معروف است. بخش دوم، ناهمسانی که پس از فرایند تنشی‌بخشی رخ می‌دهد، ناشی از تاریخچه‌ی تنش وارد بر خاک است که به عنوان ناهمسانی القابی شناخته می‌شود. با اعمال مسیرهای تنش متنوع می‌توان آثار ناهمسانی تنش و یا ناهمسانی ذاتی را در شرایط بارگذاری استاتیکی و یا تناوبی، بررسی و آثار هر یک از پارامترهای ناهمسانی را به تفکیک مطالعه کرد. با استفاده از تجهیزات آزمایش استوانه‌ی توالی می‌توان با بارگذاری کنترل شده، رفتار خاک را تحت شرایط مشخصی از نظر جهت محور تنش اصلی بیشینه ( $\alpha$ ) و نیز مقدار تنش میانی بررسی کرد.

هدف از پژوهش حاضر، بررسی تأثیر جهت محور تنش اصلی بیشینه، پارامتر تنش میانی ( $\sigma_1 - \sigma_3$ ) / ( $\sigma_1 - \sigma_2$ ) ( $b$ ) و تنش همه جانبه‌ی مؤثر در مدول برشی دینامیکی و نسبت میرایی خاک ماسه‌یی در شرایط بارگذاری تناوبی است. بنابراین تعدادی آزمایش در شرایط بارگذاری زهکشی نشده و نیز شرایط کنترل شده از نظر  $\alpha$  و  $b$  و تنش همه جانبه‌ی مختلف انجام و مقدار مدول برشی تناوبی و نسبت میرایی نمونه‌ها با هم مقایسه شدند.

مدول برشی دینامیکی ( $G$ ) و نسبت میرایی ( $D$ )، دو پارامتر شناخته شده‌ی خاک در شرایط بارگذاری دینامیکی به شمار می‌روند. کاربرد گسترده‌ی دو پارامتر مذکور در مسائل مهندسی ژوتکنیک، از قبیل: آنالیز اندرکنش خاک و سازه، ظرفیت باربری دینامیکی بی‌ها، روانگرایی، ارتعاشات ناشی از ترافیک، تأثیر بارگذاری امواج ساحل و ... منجر به توسعه‌ی طیف وسیعی از روش‌های آزمایشگاهی شده است.<sup>[۱-۴]</sup> هر یک از روش‌های مذکور، مزیت‌ها و معایب خاص خود را انداند که انتخاب روش بینیه باید با توجه به شرایط بارگذاری واقعی صورت پذیرد.<sup>[۵]</sup> بنابراین استفاده از تجهیزات آزمایشگاهی مناسب، ضروری است. دستگاه استوانه‌ی توالی تناوبی، یکی از تجهیزات آزمایشگاهی پیشرفته به شمار می‌رود که قابلیت‌های زیادی در کنترل و اعمال مسیرهای تنش متنوع دارد.

به طور کلی ناهمسانی در ساختار خاک، تحت تأثیر دو عامل است: بخش اول، تحت تأثیر فرایند تنشی‌بخشی ذرات (شرایط محیطی و زمین‌شناسی که خاک در

\* نویسنده مسئول  
تاریخ: دریافت ۱۳۹۴/۰۷/۶، اصلاحیه ۱۳۹۵/۰۷/۱۷، پذیرش ۱۳۹۵/۰۸/۱۰.

## ۲. پیشینه‌ی پژوهش

تقریباً غیرهمم طبقه‌بندی کرد.<sup>[۱۶]</sup> مثلاً دامنه‌ی کرنش، تنش مؤثر نسبت تخلخل و تعداد سیکل بارگذاری در دسته‌ی پراهمیت (بسیار مهم) قرار دارند.

نسبت پیش تحکیم بافتگی، تأثیرگذاری در مدول برشی در خاک‌های چسبنده و غیرچسبنده مذکور شد. مثلاً پارامتر مذکور باعث افزایش  $G_{\max}$  می‌شود که به حالت خمیری نمونه نیز بستگی دارد، به طوری که در خاک غیرخمیری، تقریباً بدون تأثیر است. برای مثال، مشخصات دانه‌ها به خودی خود در مقدار مدول برشی تأثیر نمی‌گذارند، مگر اینکه تأثیر آن‌ها در مقادیر نسبت تخلخل و مقاومت نمونه در نظر گرفته شود. با توجه به این موضوع که دو پارامتر مذکور به عنوان پارامترهای مؤثر در نظر گرفته می‌شوند، می‌توان تأثیر مشخصات دانه‌ها را در مقدار مدول برشی، غیرهمم در نظر گرفت. تحقیقات نشان داد که ۳ پارامتر کرنش برشی، تنش مؤثر همه جانبه و تعداد سیکل بارگذاری، مهم‌ترین پارامترهای مؤثر در نسبت میرابی در خاک‌های ماسه‌یی هستند. مقدار نسبت میرابی با افزایش کرنش برشی، افزایش می‌یابد و این در حالی است که افزایش در مقدار تنش مؤثر همه جانبه موجب کاهش در مقدار نسبت میرابی می‌شود. درنهایت با افزایش تعداد سیکل بارگذاری، مقدار نسبت میرابی خاک کاهش می‌یابد.<sup>[۱۷-۱۸]</sup>

همان‌طور که نتایج پژوهش‌ها نشان می‌دهند، بخش عمده‌ی مطالعات پیشین در پارامترهای تأثیرگذار در خصوصیات دینامیکی خاک‌های ماسه‌یی بر مشخصات فیزیکی خاک، تنش همه جانبه، کرنش برشی، بسامد بارگذاری و تعداد سیکل بارگذاری متتمرکز شده است.<sup>[۱۹-۲۰]</sup> و به تأثیر ناهمسانی در ماسه اعم از ناهمسانی ذاتی و یا ناهمسانی القایی به عنوان یک پارامتر تأثیرگذار در رفتار ماسه و پاسخ آن به بارگذاری سیکلی کمتر توجه شده است که شاید یکی از دلایل مهم آن دشواری‌های موجود برای مدل‌سازی شرایط ناهمسان خاک است. از جمله مطالعاتی که اخیراً با استفاده از دستگاه استوانه‌ی توانی بر روی ماسه انجام شده است، می‌توان به برخی مطالعات<sup>[۲۱-۲۲]</sup> اشاره کرد که البته بخش اصلی آن‌ها بر روی بررسی آثار ناهمسانی و درصد ریزدانه‌ی غیرخمیری در شرایط بارگذاری استاتیکی متتمرکز بوده است. در مطالعه‌ی انجام شده‌ی اخیر،<sup>[۲۳]</sup> اثر مصالح سیلتی در رفتار نمونه‌های ماسه‌یی برای شرایط خاص بارگذاری نظیر غیرهمسان بودن اولیه‌ی تنش، اثر درصد مصالح سیلتی، مقدار فشار همه جانبه، نسبت تنش تحکیمی و نیز آثار مقدار تنش اصلی میانی در سختی، مقاومت و الگوی تغییرات فشار آب حفره‌ی نمونه‌های ماسه‌یی و ماسه‌یی سیلت دار ارزیابی و بررسی شده است. تفاوت اساسی مطالعه‌ی انجام شده‌ی اخیر<sup>[۲۴]</sup> با پژوهش حاضر در روش بارگذاری نمونه‌های است. در پژوهش حاضر، نمونه‌ها به صورت تناوبی آزمایش و آثار بارگذاری تناوبی در پارامترهای دینامیکی خاک (مدول برشی و نسبت میرابی) مطالعه شده‌اند، در حالی که در مطالعه‌ی ذکر شده‌ی اخیر،<sup>[۲۵]</sup> آثار بارگذاری استاتیکی در شرایط ناهمسان و نیز آثار درصد ریزدانه در رفتار خاک بررسی شده است.

با بررسی متون فنی می‌توان مشاهده کرد که تأثیر عوامل مختلفی در پارامترهای دینامیکی خاک‌های ماسه‌یی بررسی شده است. یکی از عوامل تأثیرگذار در رفتار ماسه، جهت محور بارگذاری است، که تاکنون در مطالعات انجام شده، آثار پارامتر مذکور در خصوصیات دینامیکی خاک به صورت مدون بررسی نشده است. از طرف دیگر، با توجه به محدودیت‌های تجهیزات مرسوم آزمایشگاه‌های مکانیک خاک، غالباً از آثار تنفس میانی نیز صرف نظر شده است، که البته در متون فنی مختلف به تأثیر آن در رفتار خاک اشاره شده است.<sup>[۲۶-۲۷]</sup> در پژوهش حاضر، تأثیر جهت محور تنش اصلی بیشینه ( $\alpha$ )، پارامتر تنش میانی (b) و تنش همه جانبه‌ی مؤثر ( $\sigma_m$ ) در پارامترهای تناوبی ماسه‌یی بالسر در شرایط بارگذاری تناوبی بررسی شده است. به همین منظور آزمایش‌های مدونی جهت بررسی تأثیر دو پارامتر  $\alpha$  و b در پارامترهای

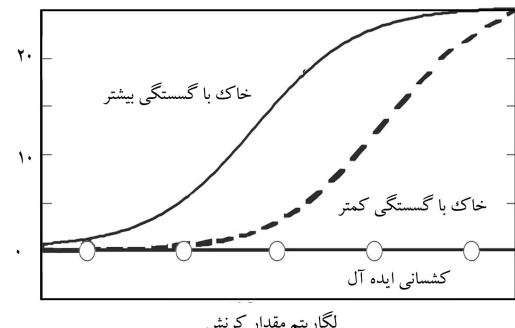
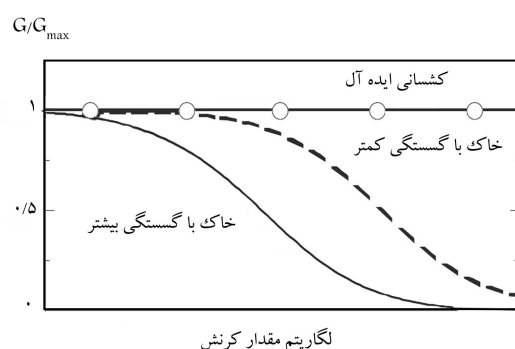
مطالعات زیادی بر روی مشخصات دینامیکی خاک‌های ماسه‌یی انجام شده است.<sup>[۱۴-۱۵]</sup> مطالعات مذکور نشان دادند که ابعاد دانه‌ها، فشار مؤثر همه جانبه، حالت خمیری و پارامترهای زیاد دیگری در مدول برشی و نسبت میرابی اثرگذارند.<sup>[۱۵]</sup> به جهت تعدد مطالعات انجام شده و به منظور عدم تداخل نتایج بدست آمده و نیز ساده‌سازی، مدل ساده‌بی برای بیان رفتار غیرخطی خاک برخاک به‌این صورت ارائه شده است.<sup>[۱۵]</sup>

مدول برشی یک مصالح کشسان ایده‌آل هرگز تحت تأثیر مقدار کرنش قرار نخواهد گرفت و نسبت میرابی آن نیز همیشه صفر باقی خواهد ماند. این دو، شرایط مرزی برای خاک به شمار می‌روند. از طرفی شن و ماسه به طور قابل توجهی رفتار غیرخطی از خود نشان می‌دهند و نسبت میرابی و مدول برشی آن‌ها با کرنش برشی غیربرقرار می‌کند. لذا می‌توان نتیجه گرفت که مقدار غیرخطی بودن خاک با گسته بودن<sup>[۱]</sup> دانه‌ها ارتباط مستقیمی دارد. گسته بودن به این معناست که دانه‌های خاک به چه صورت از یکدیگر گسته شده‌اند. این ایده در شکل ۱ مشاهده می‌شود.<sup>[۱۵]</sup>

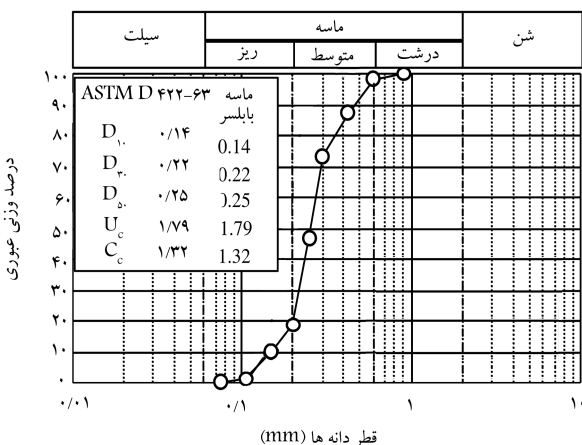
در شن و ماسه‌ها، دانه‌ها به هم مقدار<sup>[۲]</sup> نیستند و اتصال آن‌ها به صورت تماسی و اصطکاکی است. این وضعیت را می‌توان شرایط گستگی شدید نامید. نتایج آزمایش‌ها بر روی شن و ماسه‌ها، گستگی شدید را در مقایسه با رس نشان می‌دهند.

مقدار فشار همه جانبه نیز پارامتری است که در غیرخطی بودن خاک‌ها تأثیرگذار است. در فشار همه جانبه‌ی بالاتر، اندرکشن مصالح بالاتر می‌رود و از گستگی آن‌ها کاسته می‌شود و شن و ماسه‌ها در فشار همه جانبه‌ی بالاتر، رفتار منسجم‌تری از خود نشان می‌دهند.<sup>[۱۵]</sup>

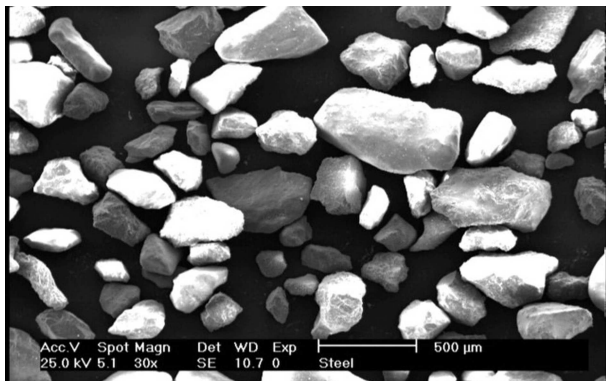
پارامترهای متعددی در مقدار مدول برشی مؤثر هستند. با توجه به پژوهش‌های انجام شده، می‌توان پارامترهای مؤثر مذکور را در ۳ گروه: بسیار مهم، نسبتاً مهم و



شکل ۱. تأثیر گستگی بودن در تغییرات مدول برشی و نسبت میرابی خاک‌ها.<sup>[۱۵]</sup>



شکل ۳. منحنی دانه‌بندی ماسه‌ی بابلسر.



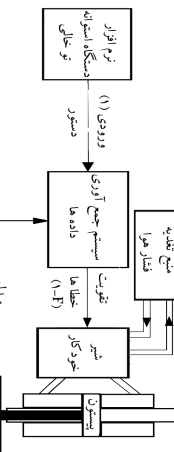
شکل ۴. تصویر میکروسکوپی دانه‌های ماسه‌ی بابلسر.

جدول ۱. مشخصات دستگاه آزمایش نمونه‌ی استوانه‌ی توخالی.<sup>[۲۴]</sup>

مشخصه	واحد	ظرفیت	دقیقت
قطر خارجی	cm	۱۰	-
قطر داخلی	cm	۶	-
ارتفاع نمونه		۲۰	-
نیروی محوری	kN	$\pm 10$	۰,۰۰۱
لنجیر پیچشی	N.m	$\pm 300$	۰,۰۱
تعییرات حجم	cc	۱۰۰	۰,۱
تعییر مکان شعاعی	mm	$\pm 50$	میکرون ۱/۵
تعییر مکان محوری	mm	$\pm 25$	۰,۰۱
فشار آب حفوبی	kPa	۱۰۰۰	۰,۱
فشار داخلی سلول	kPa	۱۰۰۰	۰,۱
فشار خارجی سلول	kPa	۱۰۰۰	۰,۱
تعییرات حجم سلول داخلی	cc	۱۰۰	۰,۱

جدول ۲. ویژگی‌های فیزیکی ماسه‌ی بابلسر.

ماسه‌ی بابلسر	ویژگی
۲,۷۵۳	چگالی ویژه (Gs)
۰,۷۹۰	نیز تخلخل بیشینه
۰,۵۳۱	نیز تخلخل کمینه



شکل ۲. سیستم کنترلی حلقه‌ی بسته‌ی دستگاه استوانه‌ی توخالی سیکلی.

دینامیکی خاک ماسه‌ی انجام شده است. به جهت تدقیق نتایج و نیز بررسی آثار تنفس همه‌جانبه، آزمایش‌ها در دو مقدار تنفس همه‌جانبه مختلف انجام شده‌اند.

### ۳. دستگاه مورد استفاده

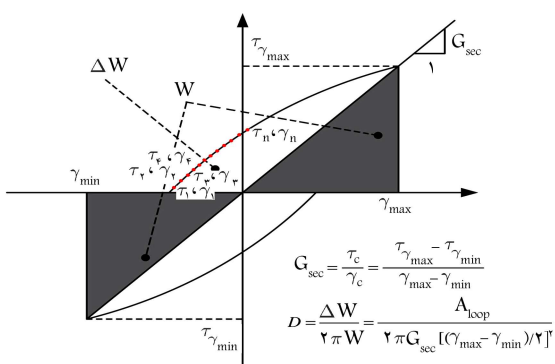
جهت انجام آزمایش‌های پژوهش حاضر از دستگاه استوانه‌ی توخالی سیکلی استفاده شده است، که مشخصات اصلی آن، محدوده‌ی بارگذاری و نتایج قابل استحصال در جدول ۱ ارائه شده است. سیستم بارگذاری و اعمال نیروی دستگاه مذکور، پنوماتیکی بوده و از تجهیزات الکترونیکی متعددی برای اندازه‌گیری نیرو، کرنش و فشار استفاده شده است. دستگاه استوانه‌ی توخالی سیکلی، حرکت‌های مکانیکی را به سیگنال‌های الکترونیکی تبدیل می‌کند تا امکان جمع‌آوری و سنجش آن‌ها توسط دستگاه قراتت مرکزی فراهم شود. برای کنترل دقیق مقادیر تنفس و کرنش، ارتباط مشخصی بین ۵ مؤلفه‌ی نرم‌افزار دستگاه، سیستم جمع‌آوری سریع اطلاعات، شیرهای اتوماتیک، محرک‌های بارگذاری و ترک پیچشی و مبدل‌های بار، فشار و تعییرمکان برقرار می‌شود. کنترل مؤلفه‌های ذکرشده توسط یک حلقة‌ی<sup>۴</sup> بسته انجام می‌شود که در شکل ۲ نشان داده شده است. دستگاه مذکور قادر به کنترل ۵ محور مستقل نیروی محوری، ترک پیچشی، فشار سلول داخلی، فشار سلول خارجی و پس‌فشار در بسامد ۱ هرتز است.<sup>[۲۴]</sup> نمونه‌های ساخته شده توسط دستگاه مذکور، به قطر خارجی ۱۰۰ میلی‌متر، قطر داخلی ۶۰ میلی‌متر و ارتفاع ۲۰۰ میلی‌متر هستند.

### ۴. روش انجام آزمایش‌ها و مصالح مورد استفاده

آزمایش‌های پژوهش حاضر بر روی ماسه‌ی بابلسر (واقع بر سواحل دریای خزر) انجام شده است. با انجام آزمایش‌های شاخص براساس استانداردهای ASTM، خصوصیات مکانیکی ماسه‌ی بابلسر تعیین شد، که نتایج آن در جدول ۲ ارائه شده است.<sup>[۲۴-۲۵]</sup> با توجه به نتایج آزمایش‌های شاخص انجام شده و براساس طبقه‌بندی یونیفاید، ماسه‌ی بابلسر در ردیف ماسه‌های با اندازه‌ی دانه‌ی متوسط و بد دانه‌بندی شده (SP) طبقه‌بندی می‌شود. شکل ۳، منحنی دانه‌بندی ماسه‌ی بابلسر را نشان می‌دهد. شکل ۴، عکس میکروسکوپی دانه‌های ماسه‌ی بابلسر را نشان می‌دهد که مطابق آن ماسه‌ی بابلسر با دانه‌بندی نسبتاً یکنواخت است و از نظر ظاهری، شکل دانه‌ها نیمه مدور<sup>۵</sup> تا نیمه گوشیدار<sup>۶</sup> است.

جدول ۳. مشخصات نمونه‌های آزمایش شده.

(e)	$Dr(\%)$	$\alpha$ درجه	b	$\sigma'_{om}$	نمونه آزمایش شده
۰,۷۲۳	۲۶	۱۰	۰,۱	۵۰	۱
۰,۷۲۸	۲۴	۳۰	۰,۱	۵۰	۲
۰,۷۲۸	۲۴	۴۵	۰,۱	۵۰	۳
۰,۷۲۵	۲۵	۶۰	۰,۱	۵۰	۴
۰,۷۲۰	۲۳	۸۰	۰,۱	۵۰	۵
۰,۷۲۸	۲۴	۱۰	۰,۵	۵۰	۶
۰,۷۲۰	۲۳	۳۰	۰,۵	۵۰	۷
۰,۷۲۳	۲۶	۴۵	۰,۵	۵۰	۸
۰,۷۳۳	۲۲	۶۰	۰,۵	۵۰	۹
۰,۷۲۰	۲۷	۸۰	۰,۵	۵۰	۱۰
۰,۷۲۳	۲۶	۱۰	۰,۹	۵۰	۱۱
۰,۷۳۰	۲۳	۳۰	۰,۹	۵۰	۱۲
۰,۷۳۳	۲۲	۴۵	۰,۹	۵۰	۱۳
۰,۷۲۰	۲۷	۶۰	۰,۹	۵۰	۱۴
۰,۷۱۷	۲۸	۸۰	۰,۹	۵۰	۱۵
۰,۷۳۰	۲۳	۱۰	۰,۱	۱۵۰	۱۶
۰,۷۲۳	۲۶	۳۰	۰,۱	۱۵۰	۱۷
۰,۷۲۵	۲۵	۴۵	۰,۱	۱۵۰	۱۸
۰,۷۱۷	۲۸	۶۰	۰,۱	۱۵۰	۱۹
۰,۷۲۰	۲۷	۸۰	۰,۱	۱۵۰	۲۰
۰,۷۲۵	۲۵	۱۰	۰,۵	۱۵۰	۲۱
۰,۷۱۷	۲۸	۳۰	۰,۵	۱۵۰	۲۲
۰,۷۲۰	۲۳	۴۵	۰,۵	۱۵۰	۲۳
۰,۷۳۳	۲۲	۶۰	۰,۵	۱۵۰	۲۴
۰,۷۲۳	۲۶	۸۰	۰,۵	۱۵۰	۲۵
۰,۷۲۸	۲۴	۱۰	۰,۹	۱۵۰	۲۶
۰,۷۳۰	۲۳	۳۰	۰,۹	۱۵۰	۲۷
۰,۷۲۸	۲۴	۴۵	۰,۹	۱۵۰	۲۸
۰,۷۲۵	۲۵	۶۰	۰,۹	۱۵۰	۲۹
۰,۷۲۳	۲۶	۸۰	۰,۹	۱۵۰	۳۰



شکل ۵. نحوه‌ی تعیین مدول برشی و نسبت میرایی در یک حلقه‌ی هیسترزیس تنش برشی بر حسب کرنش برشی.<sup>[۲۲]</sup>

از آنجا که هدف اصلی پژوهش حاضر، بررسی اثر جهت محور تنش اصلی بیشینه (α) و نیز پارامتر تنش میانی (b) در پارامترهای سیکلی ماسه‌ی شل و تحکیم همسان‌یافته‌ی با بلسر بود، یکسری آزمایش سیکلی زهکشی‌نشده توسط دستگاه استوانه‌ی توالی تراکم انجام شد. برای ساخت نمونه‌ها نیز از روش تراکم کاهش‌یافته به روش کوبش مرطوب استفاده شد.<sup>[۲۴]</sup> درصد تراکم نمونه‌ها در انتهای مرحله‌ی تحکیم، در محدوده‌ی ۲۲ الی ۲۸ درصد (به طور متوسط ۲۵٪) قرار گرفت.

از عوامل مهم و مؤثر در ساخت نمونه، تأثیر تراکم لایه‌های بالای در هنگام ساخت بر روی لایه‌های پایینی است. در صورت نگرفتن مستانه‌ی مذکور، قسمت‌های پایینی نمونه، تراکم بیشتری نسبت به قسمت‌های بالای خواهند داشت. در روش تراکم کاهش‌یافته با معروفی پارامتری با عنوان درصد تراکم کاهش‌یافته و انتخاب درست آن برای هر لایه و به ویژه لایه‌ی اول، می‌توان به یک نمونه با تراکم یکنواخت رسید.<sup>[۲۹]</sup> درصد تراکم نمونه‌ها در انتهای مرحله‌ی تحکیم، در محدوده‌ی ۲۲ الی ۲۸ درصد (به طور متوسط ۲۵٪) قرار گرفت.

برای اشباع نمونه‌ها، ابتدا گاز دی‌اکسیدکربن و سپس آب بدون هوا از درون نمونه‌ها عبور داده شدند. مرحله‌ی اشباع کامل با افزایش مرحله‌ی پس فشار و تا رسیدن مقدار ضریب اسکمتون (B) به حدود ۰,۹۶ ادامه یافت. در مرحله‌ی بعد، نمونه‌ها تحت تنش همه‌جانبه‌ی ۵۰ و ۱۵۰ کیلوپاسکال و به صورت همسان تحکیم پیدا کردند. با رگذاری سیکلی نمونه‌ها، تحت شرایط کنترل شده‌ی α (۰,۱۰, ۰,۹۰, ۰,۸۰ درجه) و b (۰,۱۰, ۰,۹۰, ۰,۸۰) و نیز نسبت ثابت تنش تقاضی بیشینه به مقدار تنش انتهای تحکیم (۲)  $(q/\sigma'_{om}) = ۰,۹$ ، انجام شد، به طوری که مقدار پارامترهای a، b در طول هر آزمایش ثابت نگه داشته شد. با توجه به تأثیر کم ساماند با رگذاری در پاسخ نمونه‌ها به رگذاری سیکلی و همچنین به منظور اندازه‌گیری دقیق تر فشار آب حفره‌ی اضافی، بسامد با رگذاری ۲۵٪ انتخاب و در هر سیکل با رگذاری ۵٪ داده ثبت شد.<sup>[۳۰]</sup> در نهایت، ۳۰ آزمایش استوانه‌ی توالی تراکمی بر روی نمونه‌های شل و تحکیم همسان‌یافته در شرایط با رگذاری کنترل شده انجام شد که مشخصات نمونه‌های آزمایش شده در جدول ۳ ارائه شده است.

## ۵. نتایج آزمایش‌ها

مقدار مدول برشی و نسبت میرایی در هر سیکل با رگذاری را می‌توان از نمودار تنش-کرشن (لوپ هیسترزیس<sup>[۷]</sup>) محاسبه کرد. شکل ۵، شکل شماتیک حلقة هیسترزیس و نحوه‌ی محاسبه‌ی مدول برشی سکانت<sup>[۸]</sup> و نسبت میرایی را نشان می‌دهد. با استفاده از انتگرال‌گیری عددی می‌توان مساحت حلقة هیسترزیس را محاسبه کرد. دستگاه مورداستفاده در پژوهش حاضر، تعداد ۵۰ داده در هر سیکل با رگذاری ثبت می‌کند. لذا جهت محاسبه‌ی مساحت حلقة هیسترزیس می‌توان از رابطه‌ی ۱ استفاده کرد:

$$A_{loop} = -\frac{1}{2} \left( \begin{bmatrix} \gamma_1 & \gamma_2 \\ \tau_1 & \tau_2 \end{bmatrix} + \begin{bmatrix} \gamma_2 & \gamma_3 \\ \tau_2 & \tau_3 \end{bmatrix} + \dots + \begin{bmatrix} \gamma_{50} & \gamma_1 \\ \tau_{50} & \tau_1 \end{bmatrix} \right) \quad (1)$$

که در آن،  $A_{loop}$  مساحت یک چندضلعی مسطح بسته است که اضلاع آن هم‌دیگر را قطع نمی‌کنند. مختصات نقاط چندضلعی مذکور،  $(\gamma_1, \tau_1), (\gamma_2, \tau_2), \dots, (\gamma_{50}, \tau_{50})$  است که  $\gamma_i$  و  $\tau_i$  به ترتیب کرشن و تنش برشی در نقطه‌ی *i*ام هستند.<sup>[۲۲]</sup>

معمولًاً تغییرات مدول برشی و نسبت میرایی با کرشن برشی بررسی می‌شود.

کرنش برشی در تجهیزات آزمایشگاهی مرسوم یا مستقیماً بر نمونه اعمال می‌شود (دستگاه برش ساده) و یا از اختلاف کرنش قائم و افقی به دست می‌آید (دستگاه سه محوری). در هر صورت، روند ایجاد کرنش برشی در طی آزمایش‌های انجام شده با یک وسیله‌ای آزمایشگاهی یکسان است. با توجه به آثار مسیر تنش در مقدار و نوع کرنش و نیز با توجه به اینکه در آزمایش‌های استوانه‌ی توانی نمونه‌ها تحت شرایط بارگذاری ناهمسان مختلفی از نظر (a) و (b) قرار دارند، مقدار کرنش برشی در مسیرهای تنش مختلف آزمایش‌های انجام شده، از نظر ماهیت (کرنش برشی ناشی از برش خالص، کرنش برشی ناشی از بارگذاری محوری و یا ترکیب این دو حالت) متفاوت هستند. به عنوان مثال، در نمونه‌یی که در شرایط بارگذاری  $\alpha = 10^\circ$  قرار دارد، کرنش برشی عمدتاً ناشی از بارگذاری محوری است و در شرایط بارگذاری  $\alpha = 45^\circ$ ، کرنش برشی تحت تأثیر تنش برشی خالص ایجاد می‌شود.

مطابق شکل ۶، مدول برشی نمونه‌ها تا رسیدن مقدار فشار آب حفره‌یی ماندگار به حدود  $2^\circ$ ، کاهش چندانی نخواهد داشت. از طرف دیگر، با افزایش فشار آب حفره‌یی ماندگار و رسیدن نسبت فشار آب ماندگار به حدود  $6^\circ$ ، تقریباً بیش از  $8\%$  از مدول برشی خاک از بین نخواهد رفت. به عبارت دیگر، در نمونه‌های شل ماسه‌یی، بخش عمده‌ی فرایند کاهش سختی خاک در محدوده‌ی فشار آب حفره‌یی ماندگار ( $2^\circ$  تا  $6^\circ$ ) رخ می‌دهد. تأثیر پارامتر  $\alpha$  در تغییرات نسبت میرایی با نسبت فشار آب حفره‌یی ماندگار را می‌توان به وضوح در آزمایش‌هایی که در فشار همه‌جانبه‌ی  $150$  کیلوپاسکال انجام شده‌اند، مشاهده کرد (شکل ۷). مطابق شکل مذکور، در شرایط فشار همه‌جانبه‌ی  $150$  کیلوپاسکال، نمونه‌هایی که در شرایط بارگذاری محوری آزمایش شده‌اند  $\alpha = 10^\circ$  و  $\alpha = 45^\circ$  نسبت میرایی کمتر داشته و با نزدیک شدن  $\alpha$  به  $45^\circ$  درجه (مد تغییر شکل برشی)، نسبت میرایی افزایش یافته است. با مقایسه این رفتار با مدل ارائه شده‌ی نوها مجدداً می‌توان تأیید کرد که رفتار نمونه‌هایی که در شرایط  $\alpha = 10^\circ$  و  $\alpha = 45^\circ$  آزمایش شده‌اند، منسجم تر و یکپارچه‌تر بوده و با نزدیک شدن  $\alpha$  به  $45^\circ$  درجه، از انسجام مذکور کاسته شده است. همین روند در تغییرات نسبت میرایی با نسبت فشار آب حفره‌یی ماندگار نمونه‌های شل و تحکیم همسان یافته ماسه‌ی بابلسر در شرایط فشار همه‌جانبه‌ی  $50$  کیلوپاسکال مشاهده می‌شود. با این تفاوت که در شرایط  $\sigma_m^! = 50 \text{ kPa}$  پارامتر  $\alpha$  تأثیر بسیار کمتری در نسبت میرایی در مقایسه با شرایط  $\sigma_m^! = 150 \text{ kPa}$  دارد، به عبارت دیگر، با افزایش فشار همه‌جانبه‌ی مؤثر اولیه، پارامتر  $\alpha$  تأثیر بیشتری در نسبت میرایی خواهد گذاشت. برخی آزمایش‌های برش پیچشی انجام شده، [۲۴] که به منظور بررسی تأثیر جهت محور تنش اصلی بیشینه و همچینی بروز آثار چرخش جهت محور تنش اصلی بیشینه در مقاومت روان‌گرایی ماسه‌ی شل انجام شده بودند، نیز نشان دادند که کمترین مقاومت روان‌گرایی مربوط به شرایط آزمایش  $\alpha = 45^\circ$  است. این رفتار با استفاده از جهت صفحه‌ی بیشینه‌ی تنش برشی تفسیر شده که در شرایط  $\alpha = 45^\circ$  این صفحه در جهت صفحه‌ی تهنشینی ذرات (صفحه‌ی افق) قرار می‌گیرد. پژوهش‌های مذکور، [۲۵] بر این نکته تأکید کرده‌اند که اگرچه تأثیر جهت محور تنش اصلی بیشینه در مقاومت سیکلی، اهمیت به سزاگی دارد، اما اثر آن در مقایسه با تأثیر جهت صفحه‌ی بیشینه‌ی تنش برشی نسبت به صفحه‌ی تهنشینی در درجه‌ی دوم اهمیت قرار دارد.

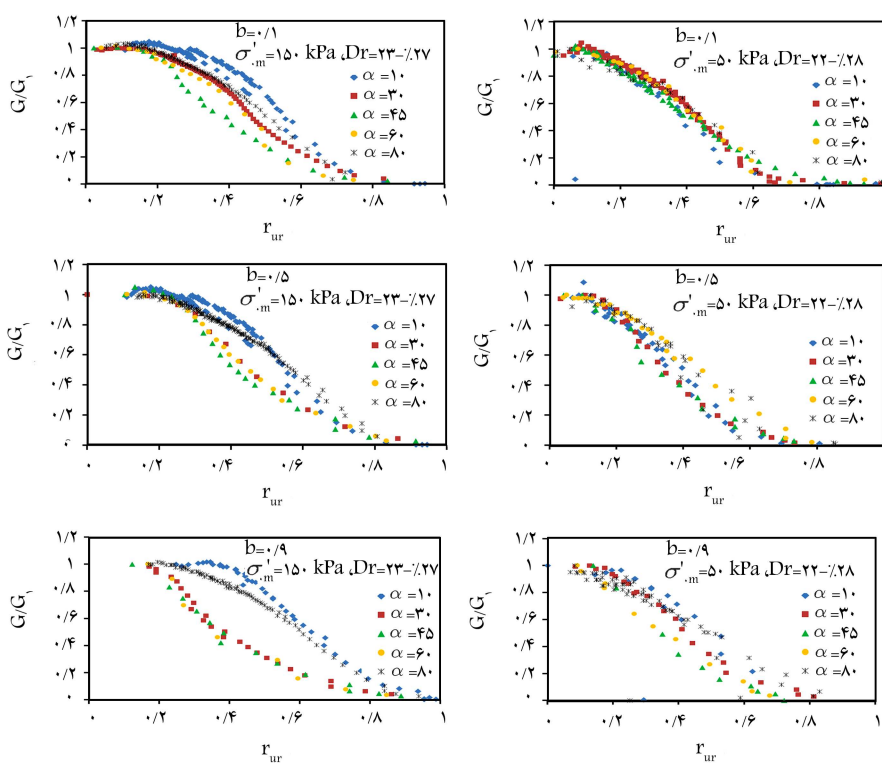
## ۲.۵. تأثیر پارامتر $b$

به جهت بررسی تأثیر پارامتر  $b$  در مدول برشی خاک ماسه‌یی شل، تغییرات مدول

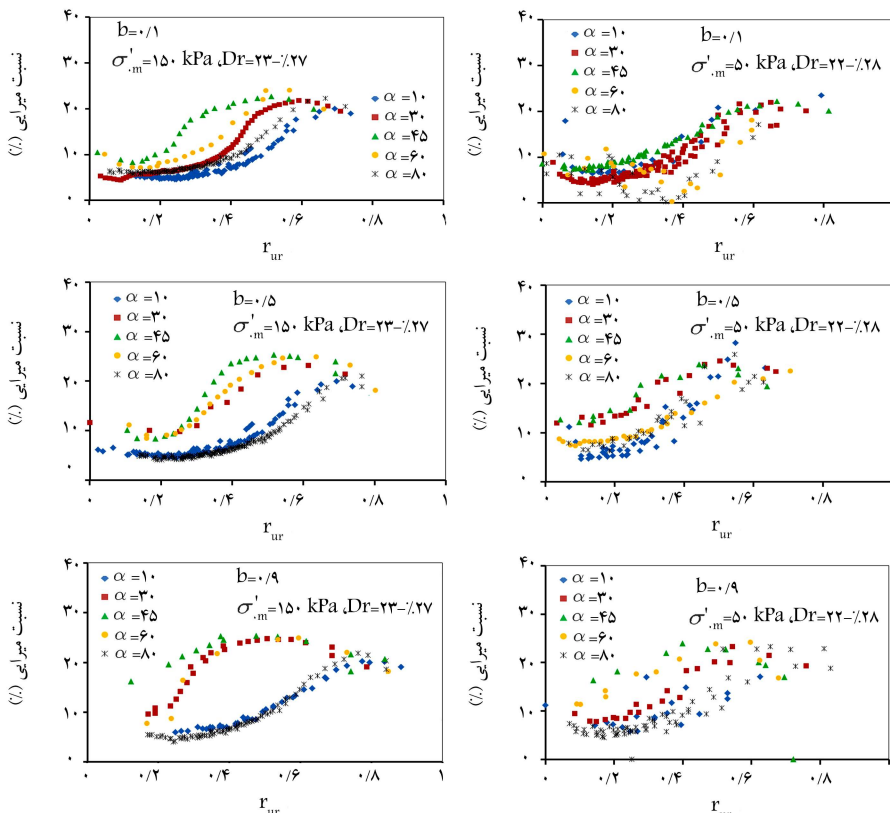
از طرفی در آزمایش‌های زهکشی نشده، مهم‌ترین عامل در کاهش سختی و مقاومت نمونه‌های ماسه‌یی، افزایش فشار آب حفره‌یی ماندگار است. نسبت فشار حفره‌یی ( $r_{ur}$ ) به صورت نسبت فشار آب حفره‌یی ماندگار ( $u_r$ ) به تنش مؤثر همه‌جانبه‌ی ( $\sigma_m^!$ ) تعریف می‌شود ( $r_{ur} = u_r / \sigma_m^!$ ). این نسبت از صفر (عدم فشار آب حفره‌یی اضافی در خاک) تا یک (انتقال کامل فشار آب بر خاک یا روان‌گرایی) تغییر می‌کند و لذا دید بهتری نسبت به فشار آب حفره‌یی ماندگار ایجاد خواهد کرد. فشار آب حفره‌یی ماندگار از خرابی پیش‌رونده در اسکلت خاک (کرنش‌های خمیری) ناشی می‌شود و تنش‌های مؤثر خاک را تغییر می‌دهد، علاوه بر این تأثیر مستقیمی در مقاومت و سختی خاک دارد. مقدار فشار آب حفره‌یی ماندگار در آزمایش‌های تنش کنترل شده، زمانی اندازگیری می‌شود که تنش تقاضلی بیشینه، صفر شود و یا از صفر عبور کند.<sup>[۲۶]</sup> بنابراین برای تفسیر نتایج آزمایش‌های استوانه‌ی توانی بهتر است که به جای کرنش برشی از فشار آب حفره‌یی ماندگار استفاده کرد. بدیهی است که هر دو پارامتر ذکر شده، بیانی از خرابی پیش‌رونده در آزمایش‌های زهکشی نشده هستند. با توجه به موارد مذکور، تغییرات مدول برشی و نسبت میرایی با فشار آب حفره‌یی ماندگار، اطلاعات بهتری از رفتار خاک در شرایط مختلف بارگذاری ارائه می‌دهد و امکان مقایسه‌ی رفتار نمونه‌ها در شرایط مختلف بارگذاری را ساده‌تر می‌کند. با توجه به شرایط اولیه یکسان همه‌ی نمونه‌ها قبل از بارگذاری (روش ساخت، چگالی نسبی انتهای مرحله‌ی تحکیم و تنش همه‌جانبه‌ی مؤثر)، مدول برشی و نسبت میرایی در آن‌ها با مقدار مدول برشی و نسبت میرایی اولین سیکل بارگذاری هنجرار شد.

## ۱.۵. تأثیر پارامتر $\alpha$

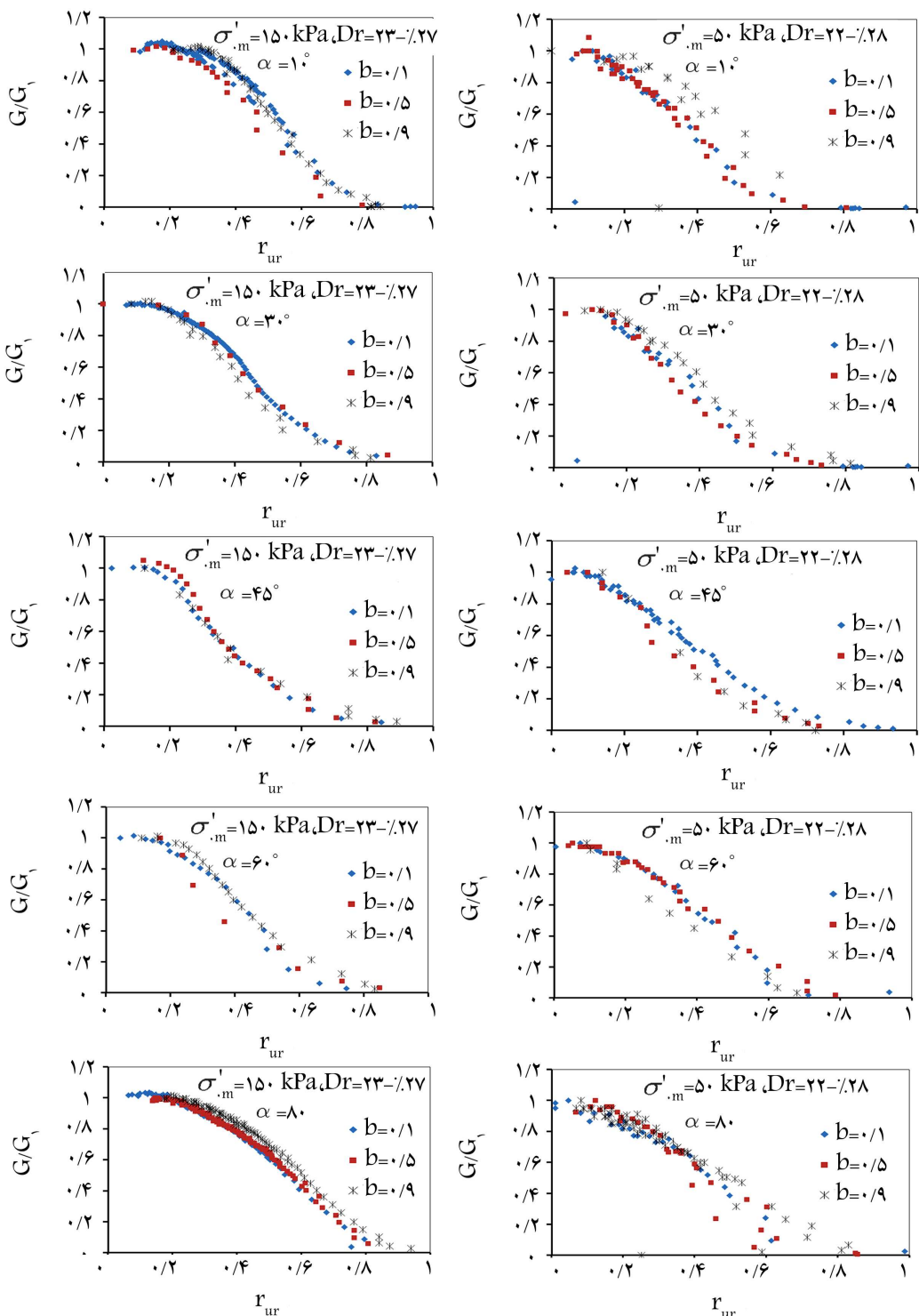
شکل ۶، تغییرات مدول برشی نمونه‌های شل و تحکیم همسان یافته‌ی ماسه‌ی بابلسر را با فشار آب حفره‌یی ماندگار در شرایط فشار همه‌جانبه‌ی  $50$  و  $150$  کیلوپاسکال نشان می‌دهد. چنان که مشاهده می‌شود، روند کاهش سختی نمونه با افزایش فشار آب حفره‌یی به شکل محسوسی وابسته به جهت محور تنش اصلی بیشینه و به تبع آن مد بارگذاری است. با مقایسه‌ی رفتار نمونه‌ها در هر دو مقدار فشار همه‌جانبه‌ی مؤثر ( $50$  و  $150$  کیلوپاسکال) می‌توان مشاهده کرد که در یک نسبت فشار آب حفره‌یی ماندگار مشخص، با نزدیک شدن مقدار  $\alpha$  به  $45^\circ$  درجه، مدول برشی کاهش می‌یابد، با این تفاوت که در شرایط فشار همه‌جانبه‌ی  $150$  کیلوپاسکال، تأثیر  $\alpha$  بسیار پررنگ‌تر و مشخص‌تر است. به عبارت دیگر، با کاهش تنش همه‌جانبه‌ی مؤثر، از تأثیر



شکل ۶. تغییرات مدول برشی با نسبت فشار آب حفره‌ی ماندگار در نمونه‌های شل و تحکیم همسان یافته‌ی ماسه‌ی بابلسر تحت تنش‌های تحکیم  $5^{\circ}$  و  $15^{\circ}$  کیلوپاسکال و مقادیر مختلف  $\alpha$ .



شکل ۷. تغییرات نسبت میرایی با نسبت فشار آب حفره‌ی ماندگار در نمونه‌های شل و تحکیم همسان یافته‌ی ماسه‌ی بابلسر تحت تنش‌های تحکیم  $5^{\circ}$  و  $15^{\circ}$  کیلوپاسکال و مقادیر مختلف  $\alpha$ .

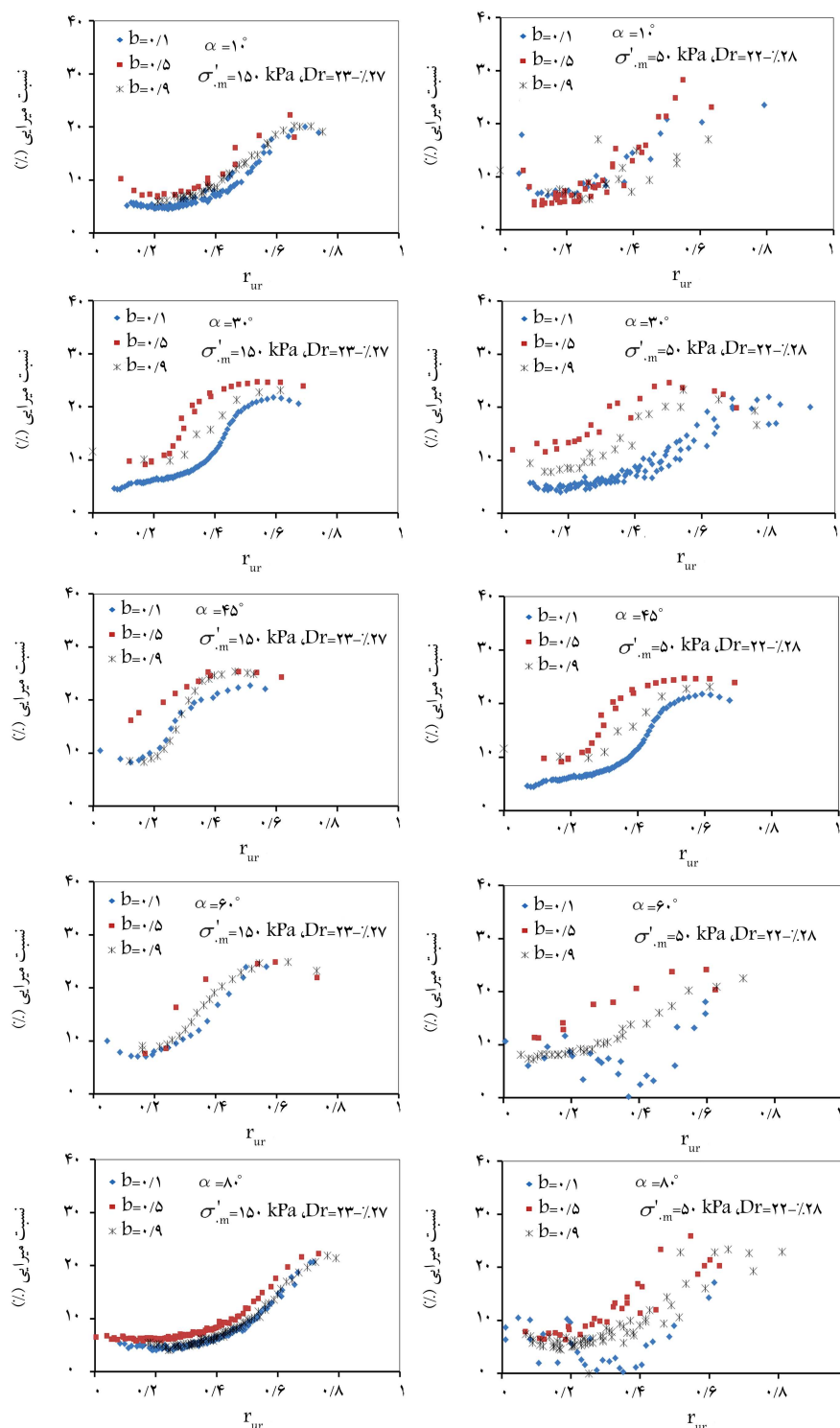


شکل ۸. تغییرات مدول برشی با فشار آب حفره‌یی ماندگار در نمونه‌های شل و تحکیم همسان‌یافته‌یی ماسه‌یی با پبلسر در مقادیر مختلف  $b$ .

آزمایش شده در شرایط  $\alpha = 45^\circ$  بیشترین نسبت میرایی (کمترین انسجام دانه‌ها) را داشته‌اند و کمترین نسبت میرایی (بیشترین انسجام دانه‌ها) نیز مربوط به نمونه‌ای آزمایش شده در شرایط  $\alpha = 10^\circ$  است. به طورکلی در آزمایش‌های استوانه‌یی توالی، تحت تأثیر پارامترهای  $\alpha$  و  $b$ ، در رژیم بارگذاری مجزا بر نمونه‌ی خاک اعمال می‌شود ( $10^\circ$ ). در رژیم اول، پارامتر  $\alpha$  مقادیر تنش بر روی صفحات<sup>۲</sup> و<sup>۳</sup> plane<sup>۲</sup> و plane<sup>۳</sup> را کنترل می‌کند. در

برشی با فشار آب حفره‌یی ماندگار در مقادیر ثابت  $\alpha$  در شکل ۸ مشاهده می‌شود که مطابق آن در هر دو فشار همه‌جانبه‌ی ۵۰ و ۱۵۰ کیلوپاسکال و در یک مقدار مشخص از  $\alpha$ ، پارامتر  $b$  تأثیر کمی در مدول برشی دارد.

تغییرات نسبت میرایی با فشار آب حفره‌یی ماندگار در مقادیر ثابت  $b$  در شکل ۹ نشان داده شده است. تقریباً در تمامی مقادیر  $\alpha$  به جز در شرایط  $\alpha = 45^\circ$ ، پارامتر  $b$  تأثیر چندانی در نسبت میرایی نمونه‌ها ندارد. در شرایط بارگذاری  $\alpha = 45^\circ$  نمونه‌های



شکل ۹. تغییرات نسبت میرابی با فشار آب حفده‌ی ماندگار در نمونه‌های شل و تحکیم همسان یافته‌ی ماسه‌ی بابلسر در مقادیر مختلف  $b$ .

بارگذاری افقی در جهت انقباض نمونه‌ی استوانه‌ی توخالی است. صرف‌نظر از رژیم بارگذاری ناشی از پارامتر  $\alpha$ ، این نوع بارگذاری شباهت زیادی به شرایط بارگذاری سه محوره‌ی فشاری<sup>۱۱</sup> دارد. در شرایط بارگذاری  $b = 0/9$  نیز مقدار  $\sigma'_2 \approx \sigma'_3$  است که متناظر با بارگذاری افقی در جهت اتساع اتساع نمونه‌ی استوانه‌ی توخالی و معادل با شرایط بارگذاری سه محوره‌ی اتساعی<sup>۱۲</sup> است. بنابراین مقاومت و مدول برشی

رژیم دوم، پارامتر  $b$ ، مقدار تنش ناشی از  $\sigma_2$  را کنترل می‌کند، که این تنش بر روی صفحه‌ی plane<sup>۱</sup> قرار دارد. در شرایط  $\alpha = 45^\circ$ ، بارگذاری بر روی صفحات plane<sup>۲</sup> و plane<sup>۳</sup> این المان از نمونه‌ی استوانه‌ی توخالی، به صورت برش خالص است ( $\sigma'_3 = -\sigma'_2 = \tau_{max}$ ) در رژیم اول و در شرایط بارگذاری  $10^\circ = b$ ، مقدار  $\sigma'_2 \approx \sigma'_3$  است که متناظر با

در ادامه، نتایج اصلی به دست آمده از پژوهش حاضر ارائه شده است:

- نتایج نشان داد که جهت محور تنش اصلی بیشینه، تأثیر زیادی در مقدار مدول برشی نمونه‌های شل و تحکیم همسان‌بافتی با بلسر دارد. به طوری که در یک نسبت آب خفره‌یی پس‌ماند مشخص، مدول برشی نمونه‌ها در شرایط بارگذاری محوری ( $\alpha = 10^\circ$  و  $\alpha = 80^\circ$ ) بیشترین مقدار را داشته و کمترین مقدار مدول برشی مربوط به نمونه‌ی بارگذاری شده در شرایط بارگذاری برشی ( $\alpha = 45^\circ$ ) بوده است که دلیل آن کمتر بودن سختی برشی نسبت به سختی محوری و همچنین قرارگرفتن جهت محور تنش برشی بیشینه بر روی صفحه‌ی تنشینی خاک (ضعیف‌ترین صفحه‌ی خاک) است.

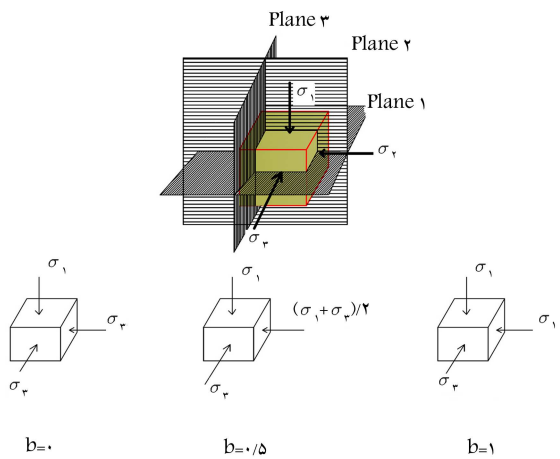
- نتایج نشان داد که پارامتر تنش اصلی میانی تأثیر چندانی در مدول برشی نمونه‌های شل و تحکیم همسان‌بافتی با بلسر ندارد.

- جهت محور تنش اصلی بیشینه تأثیر زیادی در نسبت میرابی نمونه‌های شل و تحکیم همسان‌بافتی با بلسر داشت. با نزدیک شدن  $\alpha$  به  $45^\circ$  درجه (مد بارگذاری برشی)، نسبت میرابی افزایش و با نزدیک شدن  $\alpha$  به  $10^\circ$  و  $80^\circ$  درجه (مد بارگذاری محوری) مقدار آن کاهش بافتی است.

- با نزدیک شدن  $\alpha$  به  $45^\circ$  درجه، تأثیر پارامتر  $b$  در نسبت میرابی قابل توجه بود. شرایط  $\alpha = 45^\circ$ ، متناظر با برش در صفحات قائم است. بنابراین با افزایش  $b$ ، شرایط بارگذاری از حالت سه‌محوری فشاری به سه‌محوری اتساعی تغییر کرده است، لذا نمونه در شرایط  $b = 0$  سختی بیشتری نسبت به شرایط  $b = 0/9$  داشته است. بارگذاری در شرایط  $b = 0/5$ ، نیز بینابین دو شرایط بارگذاری  $\alpha = 0/1$  و  $\alpha = 0/9$  با  $b = 0$  و متناظر با اعمال برش در صفحات افقی بوده است. به همین دلیل در شرایط بارگذاری  $b = 0/5$ ، کمترین مدول برشی و بیشترین نسبت میرابی مشاهده شد.

- به طور کلی پارامترهای بارگذاری ناهمسان (a و b) تأثیر بیشتری در نسبت میرابی در مقایسه با مدول برشی داشته‌اند.

- نتایج آزمایش‌های انجام شده در مقادیر تنش همه‌جانبه‌ی مؤثر  $50^\circ$  و  $150^\circ$  کیلوپاسکال نشان داد که با افزایش فشار همه‌جانبه‌ی مؤثر، تأثیر پارامترهای بارگذاری ناهمسان (a و b) در مدول برشی و نسبت میرابی افزایش می‌باید.



شکل ۱۰. وضعیت تنش‌های اصلی در یک المان از دستگاه استوانه‌ی توخالی تحت شرایط مختلفی از پارامتر b.

نمونه‌های آزمایش شده در شرایط  $b = 0$  بیشتر از نمونه‌های بارگذاری شده در شرایط  $b = 0/9$  بوده و به تبع آن نسبت میرابی در شرایط  $b = 0$ ، کمتر از شرایط  $b = 0/9$  بوده است. در شرایط بارگذاری  $b = 0/5$  نیز  $(\sigma'_1 + \sigma'_2)/2 = 0$  است که بیانگر برش خالص بر روی صفحه‌ی افقی است. بنابراین بیشترین نسبت میرابی (کمترین انسجام دانه‌ها) موردانتظار در شرایط  $b = 0/5$  رخ خواهد داد.

## ۶. نتیجه‌گیری

در پژوهش حاضر، از نتایج تعداد ۳۰ آزمایش استوانه‌ی توخالی تناوبی بر روی نمونه‌های شل و تحکیم همسان‌بافتی ماسه‌ی با بلسر که در دانشگاه صنعتی شریف انجام شده‌اند، استفاده شده است.<sup>[۲۵]</sup> هدف از آزمایش‌های انجام شده، بررسی تأثیر جهت محور تنش‌های اصلی و نیز پارامتر تنش میانی در مدول برشی و نسبت میرابی در شرایط بارگذاری سیکلی بوده است. به همین منظور نمونه‌های شل ماسه‌ی با بلسر در شرایط مشابه اولیه‌یی از نظر روش ساخت، چگالی نسبی انتهای مرحله‌ی تحکیم و تنش همه‌جانبه‌ی مؤثر مرحله‌ی تحکیم، آماده‌ی بارگذاری شدند. بارگذاری سیکلی نمونه‌ها در شرایط  $\alpha = 0^\circ$  و  $\sigma'_m/q = 0$  ثابت تا وقوع روانگرایی ادامه پیدا کرد. هدف از

## پابوشت‌ها

- integrated
- bonded
- less discrete
- loop
- sub-rounded
- sub-angular
- hysteresis loop
- secant shear modulus
- less discreteness

## منابع (References)

- Das, B.M. "Principles of soil dynamics", Boston: PWS-Kent (1993).
- Carrubba, P. and Maugeri, M. "Dynamic soil properties from full scale tests with vibrating foundation",

- In: Proceedings of The 2nd International Conference on Earthquake Geotechnical Engineering, Lisboa, Portugal: Balkema, Rotterdam, The Netherlands, pp. 35-40 (1999).*
3. Iwasaki, T., Tatsuoka, F. and Takagi, Y. "Shear moduli of sands under cyclic torsional shear loading", *Soils Found.*, **18**(1), pp. 39-56 (1978).
  4. Zhang, J., Andrus, R.D. and Juang, C.H. "Normalized shear modulus and material damping ratio relationships", *J. Geotech. Geoenvir. Eng., ASCE*, **131**(4), pp. 453-464 (2005).
  5. Kramer, S.L. "Geotechnical earthquake engineering", Upper Saddle River, Prentice Hall (1996).
  6. Hardin, B.O. "The nature of damping in sands", *J. Soil Mech. Found. Div., ASCE*, **91**(SM1), pp. 63-97 (1965).
  7. Drnevich, V.P. and Richart, F.E. "Dynamic restraining of dry sand", *J. Soil Mech. Found. Div., ASCE*, **96**(2), pp. 453-469 (1970).
  8. Li, X.S. and Yang, W.L. "Effects of vibration history on modulus and damping of dry sand", *J. Geotech. Geoenvir. Eng., ASCE*, **14**(11), pp. 1071-1081 (1998).
  9. Li, X. and Cai, Z. "Effects of low-number previbration cycles on dynamic properties of dry sand", *J. Geotech. Geoenvir. Eng.,* **125**(11), pp. 979-987 (1999).
  10. Haeri, S., Shakeri, M. and Shahcheragh, S. "Evaluation of dynamic properties of a calcite cemented gravelly sand", *Geotechnical Earthquake Engineering and Soil Dynamics*, **IV**, pp. 1-10 (2008).
  11. Catano, J. and Pando, M. "Static and dynamic properties of a calcareous sand from southwest puerto rico", *GeoFlorida*, pp. 842-851 (2010).
  12. Schaeffer, K., Bearce, R. and Wang, J. "Dynamic modulus and damping ratio measurements from free-free resonance and fixed-free resonant column procedures", *J. Geotech. Geoenvir. Eng.,* **139**(12), pp. 2145-2155 (2013).
  13. Madhusudhan, B. and Kumar, J. "Damping of sands for varying saturation", *J. Geotech. Geoenvir. Eng.,* **139**(9), pp. 1625-1630 (2013).
  14. Kumar, J. and Madhusudhan, B.N. "Dynamic properties of sand from dry to fully saturated states", *Geotechnique*, **62**(1), pp. 45-54 (2011).
  15. Towhata, Ikuo., *Geotechnical Earthquake Engineering*, Springer-Verlag, Berlin Heidelberg (2008).
  16. Hardin, B.O. and Drnevich, V.P. "Shear modulus and damping in soils: design equation and curves", *J. Soil Mech. Found. Engng. Div., ASCE*, **98**(7), pp. 667-691 (1972).
  17. Chaudhary, S.K., Kuwano, J., Hashimoto, S., Hayano, Y. and Nakamura, Y. "Effects of initial fabric and shearing direction on cyclic deformation characteristics of sand", *Soils and Foundations*, **42**(1), pp. 147-157 (2002).
  18. HongNam, N. and Koseki, J. "Quasi-elastic deformation properties of toyoura sand in cyclic triaxial and torsional loadings", *Soils and Foundations*, **45**(5), pp. 19-38 (2005).
  19. Habib, S. and Towhata, I. "Torsion shear tests on cyclic stress-dilatancy relationship of sand", *Soils and Foundations*, **42**(1), pp. 105-119 (2002).
  20. Sivathayalan, S. and Vaid, Y.P. "Influence of generalized initial state and principal stress rotation on the undrained response of sands", *Can. Geotech. J.*, **39**(1), pp. 63-76 (2002).
  21. Zdravkovic, L. and Jardine, R. "Some anisotropic stiffness characteristics of a silt under general stress conditions", *Geotechnique SIP: Pre-Failure Deformation Behaviour of Geomaterials*, **47**(3), pp. 407-437 (1997).
  22. Keyhani, R. and Haeri, S.M. "Evaluation of the effect of anisotropic consolidation and principle stress rotation on undrained behavior of silty sands", *Scientia Iranica*, **20**(6), pp. 1637-1653 (2013).
  23. Bahadori, H., Ghalandarzadeh, A. and Towhata, I. "Effect of non-plastic silt on the anisotropic behavior of sand", *Soils and Foundations*, **48**(4), pp. 531-545 (2008).
  24. Wykeham Farrance, "dynamic hollow cylinder apparatus", Reference Manual (2012).
  25. ASTM D4253-00, "Standard test methods for maximum index density and unit weight of soils using a vibratory table", (2003).
  26. ASTM D4254-00, "Standard test methods for minimum index density and unit weight of soils and calculation of relative density", (2003).
  27. ASTM D854-02, "Standard test methods for specific gravity of soil solids by water pycnometer", (2006).
  28. ASTM D422-63, "Standard test method for particle-size analysis of soils", (2007).
  29. Ladd, R.S. "Preparing test specimens using under compaction", *Geotechnical Testing Journal, ASTM*, **1**(1), pp. 16-23 (1978).
  30. Boulanger, R.W., Seed, R.B., Chan, C.K., Seed, H.B. and Sousa, J. "Liquefaction behavior of saturated sands under unidirectional and bi-directional monotonic and cyclic simple shear loading", Rep. No. UCB/GT/91-08, Univ. of California, Berkeley, Calif. (1991).
  31. Polito, C.P. "The effects of non-plastic and plastic fines on the liquefaction of sandy soils", Ph.D. Thesis, Virginia Polytechnic Institute and State Univ., Blacksburg, Va., 274 p. (1999).
  32. Jafarzadeh F. and Sadeghi H. "Experimental study on dynamic properties of sand with emphasis on the degree of saturation", *Soil Dynamics and Earthquake Engineering*, **32**(1), pp. 26-41 (2012).
  33. Logeswaran, P. "Behaviour of sands under generalized loading and drainage conditions", Ph.D Thesis, Carleton University, Ottawa, Canada, 273 p. (2010).
  34. Manmatharajan, V. "Initial stress state and stress history effects on liquefaction susceptibility of sands", MASC Thesis, Carleton University, Ottawa, Canada, 182 p. (2011).
  35. Zamani, M. "Effect of anisotropy an cyclic behaviour of sands using hollow cylinder apparatus", P.h.D dissertation, Sharif University of Technology, (2014).